

加黃고무의 物理的 性質에 미치는 架橋構造의 影響

金 商 九

韓國타이어製造株式會社 技術研究所

(1988年 8月 20日 接受)

The Effect of Crosslink Structures on the Physical Properties of Carbon Black Filled NR and SBR Vulcanizates

Sang Goo kim

Technical Research and Development Division, Hankook Tire Mfg. Ltd.
100, Moksang-Li, Shintanjin-Ub, Daeduk-Kun, Choong Cheong Nam-Do, Korea
(Received on Auguster. 20, 1988)

ABSTRACT

The mono-, di- and polysulfidic concentrations of the carbon black filled NR and SBR vulcanizates which have different cure systems were determined. The *n*-decane was used as a swelling solvent. The propane-2-thiol and hexane thiol were used as specific chemical probes to cleavage the chemical crosslinks such as di- and polysulfide.

In order to understand the effect of crosslink structure on the physical properties of vulcanizates, the tensile properties, fatigue failure, heat build up, compression set and viscoelastic properties were measured.

From the results, the significant relationships between crosslink structures and physical properties, especially aging resistance were obtained. Therefore, the better performances of the product can be satisfied by using the interpretations and approaches in this study.

1. 緒 論

加黃고무의 架橋構造에 對한 分析方法 및 架橋構造와 物理的 性質間의 關係에 對해서는 그동안 많이 研究되어져 왔다.¹⁻¹⁰⁾

Cunneen과 Russell은 大型 타이어용 트레드 고무의 化學的 構造에 관하여 道路上에서의 走行前

後 變化狀態를 研究하여 走行前보다 走行後가 polysulfide crosslinks에서 현저히 減少하고 monosulfide crosslinks量이 增加하며 主鎖 變化가 심해진다고 報告하였다.¹⁰⁾ 모든 種類의 타이어는 使用時 熱이 發生된다. 特히 大形타이어의 shoulder에서는 内部溫度가 約 100°C 以上에 이르며 따라서 이는 加黃고무의 化學的 性質의 變化를 가져오고 結果

的으로 타이어의 性能上 重要한 加黃고무의 物理的 性質의 劣化를 일으키게 된다.

또한 加黃고무의 化學的 構造 및 性質은 加黃系에 따라 同一한 고무와 카본블랙을 使用하였더라도 크게 달라지고, 이는 加黃고무의 實際 使用時 物理的 性質을 左右한다. 그러므로 加黃構造를 把握하고 이에 따른 物理的 性質의 變化를豫測한다면 要求되는 加黃고무의 物理, 化學的 性質의 最適化에 대단히 有用하게 使用될 수 있을 것이다.

이런 觀點에서 加黃系에 따른 加黃고무의 化學的 構造의 紛明과 化學的 構造에 따른 物理的 性質의 變化를 檢討하였다.

이런 研究를 위해서는 무엇보다도 于先의으로 加黃고무의 架橋構造를 定量的으로 測定하는 것이 必要하다.

Moore¹⁾는 충전제가 배합되지 않은 純粹한 加黃고무를 利用하여 이런 分析을 試圖하였고, Porter²⁾는 카본블랙이 混合된 加黃고무에 대해서 適用하였다. 一般的으로 黃과 有機促進劑로 加黃된 고무는 Fig.1과 같은 複雜한 構造를 갖는다.

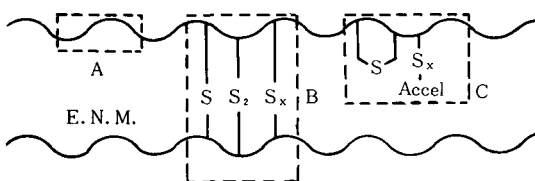


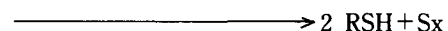
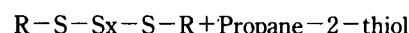
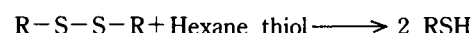
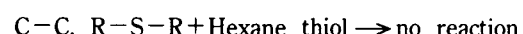
Fig. 1. Structure of an accelerated sulfur vulcanizate from NR: A) Main chains of modified and unmodified polyisoprene; B) Crosslinks; C) Cyclic and pendent groups; (ENM) Extra network materials¹⁰⁾

이들은 未反應된 加黃剤 그리고 加黃 反應生成物과 같은 여러가지로 混合된 網狀構造로 構成되어 있다.

網狀構造의 特性을 紛明하기 위해서는 (1) 化學的 架橋當 Network內에 結合된 黃原子의 數, (2) Mono-, Di-, polysulfide crosslinks의 濃度, (3) 主鎖에 붙어있는 매달린 그룹과 環狀 그룹내에 存在하는 黃量, (4) Olefinic pattern上의 alterations,

. scission 그리고 結合된 黃原子의 位置와 같은 主鎖의 構造的 形態等의 知識이 要求된다.

여러가지의 黃結合 網狀構造와 이들의 測定方法은 Moore²⁾, Porter⁵⁾, Saville⁶⁾에 의하여 詳細하게 豐사되어졌다. 網狀構造內의 化學的 架橋濃度는 應力-變形 測定方法 또는 膨潤方法으로 測定되어진다. 그러나 카본블랙과 같은 補強劑가 混合된 加黃體에 대해서는 膨潤方法만이 適用可能하다. 網狀構造의 形態特性은 加黃된 低分子量 NR 類似體의 分析과 選擇的으로 反應하는 特殊한 試藥으로 特定한 官機能과 反應시킴으로써 定量 또는 簡易 定量分析을 통하여 確立되어졌다. 여기에서 使用된 試藥과 各 架橋結合과의 選擇的 인 化學反應은 다음과 같다.



適切한 架橋狀態라면 全體 架橋結合의 約 70% 가 polysulfide이며, 나머지가 mono-와 disulfide이고 mono-와 disulfide는 大略 同等한 構成比를 갖는다. 이 境遇 架橋結合에 存在하는 黃量보다 cyclic monosulfide와 pendent group에 存在하는 黃이 2倍 程度 많으며, 主鎖내에 意味 있는 量의 混成 三重結合이 形成되어 架橋結合當 約 13個의 黃原子가 結合되어있다.

2. 實驗

2-1. 試驗用 고무의 配合 및 加黃

配合表는 Table 1과 같으며 實驗室用 Banbury mixer와 8인치 roll mill을 使用하여 混合하였다. NR 配合고무는 150°C, SBR 配合고무는 160°C에서 t_{90} 을 基準으로 加黃作業을 하였다.

2-2. 架橋密度와 架橋構造의 定量分析

여기에서 使用된 方法은 Flory-Rehner式¹¹⁾과 Watson, Saville⁶⁾에 의하여 考案된 isopropyl mercaptan處理 그리고 Campbell, Saville¹²⁾에 의하여

Table-1. Compound Recipes

Sample	N R			S B R			
	Cure System	Convent.	Semi-EV	EV	Convent	Semi-EV	EV
RSS # 3		100.0	100.0	100.0			
SBR 1712					137.5	137.5	137.5
ISAF		50.0	50.0	50.0			
HAF-LS					80.0	80.0	80.0
Zinc oxide		3.0	3.0	3.0	2.5	2.5	2.5
Stearic acid		1.5	1.5	1.5	2.0	2.0	2.0
Aromatic oil					10.0	10.0	10.0
Santoflex -13		1.0	1.0	1.0			
Wing stay 100					0.8	0.8	0.8
Kumanox 3 C					1.0	1.0	1.0
Kumanox RD		0.5	0.5	0.5			
Sunolite 240		1.0	1.0	1.0			
Acc. M		0.5	3.0	1.1	-	-	-
Acc. TBBS		-	-	-	1.0	2.5	1.0
Acc. TMTD		-	0.6	1.1	-	-	0.4
Sulfasan R		-	-	1.1	-	-	2.0
Sulfur		2.5	0.5	-	2.0	1.2	-
Total		160.0	161.1	160.3	236.8	237.5	237.2

考案된 hexane thiol 處理法을 利用하여 分析하였다.

여기에서, Wo는 最初의 試料 무게이고, Wf는 抽出後의 試料 무게이다.

2-2-1. Pyridine 및 Acetone抽出過程

試料의 두께는 大略 3-6mm로 하고 可能한 均一한 사각형으로 다듬어 約 0.5g을 稱量한다. 最小한 試料當 4조각이 必要하다.

各 試料의 全體 무게를 稱量하여 試料別로 테프론 마개가 달린 50ml 유리병에 넣고 각 유리병에 20ml의 pyridine을 가하여 室溫에서 24時間 放置한다. 24時間後 pyridine을 쏟아내고 Soxhlet 裝置에서 아세톤으로 最小한 8시간 抽出하고 真空오븐에서 80°C로 乾燥시킨다. 테시케이터내에서 試料를 冷却시켜 稱量하고 다음의 1式을 利用하여 抽出率을 計算하였다.

$$\% \text{抽出率} = (Wo - Wf) \times 100 / Wo \dots\dots\dots(1)$$

2-2-2. 카본블랙, 灰分, 고무분의 定量分析

ASTM D 297-81의 操作法에 따라서 分析하였다.

2-2-3. 架橋密度의 測定

各 試料의 한 조각을 0.1mg까지 稱量하고 테프론 마개가 달린 50ml의 유리병에 넣고 여기에 n-decane 15ml을 加한 後, 室溫에서 48時間 放置한다. 다음에 試料를 꺼내어 試料 表面上의 過剩의 n-decane을 닦아내고 ± 0.1mg까지 稱量한 後에 式 2-7을 利用하여 架橋密度를 計算하였다.

(1) 于先, 各 試料의 고무분 重量分率로 부터 고무분의 부피를 計算한다.

$$V_r = W_r / D_r \dots\dots\dots(2)$$

여기에서 V_r 은 고무분의 부피, W_r 은 고무분 무게 그리고 D_r 은 고무의 密度($0.93\text{g}/\text{ml}$ 로 假定)이다. 한편, 膨潤된 試料와 膨潤되지 않은 試料間의 무게 差異로 부터 各 膨潤된 試料內의 n -decane의 부피를 計算한다.

여기에서 V_d 는 *n-decane*의 부피, W_s 는膨潤된試料의 무게, W_0 는膨潤前試料의 무게 그리고 D_d 는 *n-decane*의 密度($0.73\text{g}/\text{mL}$)이다.

(2) 구해진 V_r 과 V_d 를 利用하여 고무분의 부피分率 v_r 을 計算한다.

(3) 式 4에서 計算한 v_r 은 式 5를 使用하여 카본블랙의 存在에 대하여 補正된다.

여기에서 v_{ro} 는 고무분의 補正된 부피 分率이고,
 z 는 加黃고무中 카본블랙의 重量 퍼센트이다.

(4) 다음에 式 6 을 利用하여 弹性常數 C_1 을 計算한다.

여기에서 β 는 고무와 膨潤溶媒間의相互作用變數로서 NR은 0.43, SBR은 0.35로假定한다. 그리고 V_0 는 膨潤溶媒의分子容(n -decane 194.9ml), R 은 氣體常數, T 는 絶對溫度이다.

(5) 얻어진 Cl 값으로 다음 式을 利用하여 化學的
架橋結合의 濃度를 求한다.

$$C_i = [1/2 \rho RTM C^{-1} + (0.78 \times 10^6)] \\ (1 - 2.3 M C M_n^{-1}) \dots \dots \dots (7)$$

여기에서, C_1 은 dyne/cm² 單位를 갖고며, ρ 는 고무의 密度(0.93g/ml)이고 M_n 은 加黃前 고무의 數坪均 分子量이다.

화학의 架橋結合의 濃度는 $1/(2Mc)$ 로 定義되므로 7式은 이 量으로 計算되어져야 한다.

2 - 2 - 4. Polysulfide Crosslinks의 测定

各試料 한 조각을 $\pm 0.1\text{mg}$ 까지 稱量하여 50ml 유리병에 넣고, 여기에 *n*-hexane 10ml를 加한 다음 室溫에서 16時間 放置한다. 試料가 放置되는 동안 *n*-hexane에 溶解시킨 0.8몰의 isopropyl mercaptan과 piperidine을 準備한다.

16時間後 이 溶液 10ml를 各 試料에 加한 다음
 數秒동안 乾燥한 窒素가스를 試料에 불어 넣어주고
 室温에서 2時間 放置한다. 試料를 꺼내어 *n*-hexane으로 表面을 잘 洗滌하고 80°C의 真空오븐에서 乾燥하고 各 試料를 ± 0.1mg까지 再稱量한다.
 만약 어떤 試料든지 원래 試料무게보다 2% 以上 減少하면 카본블랙과 고무분을 다시 定量한다.
 處理된 試料의 化學的 架橋結合 濃度를 2-2-3에서 와 같은 方法으로 計算한다.

2 - 2 - 5 . Disulfide 와 Monosulfide Cross-links 의 测定

各試料한조각을 $\pm 0.1\text{mg}$ 까지稱量하고 50mℓ의 테프론 마개가 달린 유리병에 넣고, 여기에 piperidine 43mℓ와 *n*-hexyl mercaptan 7mℓ의混合物을 만들어서 각試料에 이溶液 15mℓ를 加한다. 마개로 막고 室溫에서 48時間동안 真空 데시케이터에 試料를 保管한다. 試料를 *n*-hexane으로 씻고, 80°C 真空오븐에서 乾燥한 後에 各試料를 $\pm 0.1\text{mg}$ 까지稱量한다. 만약 어떤 試料든지 원래 試料무게보다 2% 以上 減少하면 카본블랙과 고무분을 다시 測定한다. 化學的 架橋結合 濃度를 2-2-3에서와 같은 方法으로 計算한다.

最初의 测定值와 isopropyl mercaptan 處理後 测定值間의 差異가 polysulfide crosslinks의 濃度이다. Isopropyl mercaptan處理後 测定值와 *n*-hexyl mercaptan處理後 测定值間의 差異가 disulfide crosslinks의 濃度이며, 最終 测定值(*n*-hexyl mercaptan處理後)가 monosulfide crosslinks의 濃度이다.

2 - 3. 粘彈性 性質의 測定

粘彈性의 测定에는 Rheometrics RDS-7700 II를

使用하여 다음과 같은 條件으로 測定하였다.

Geometry : Rectangular torsion

Test mode : Temperature sweep

溫度範圍 : -120°C ~ 140°C

昇溫速度 : 5°C/min

Strain : 0.1%

Frequency : 1Hz

3. 結果 및 考察

3-1. 架橋構造

NR과 SBR配合에서 使用된 加黃系에 따라서

Table 2, Fig.2~3에 나타낸 바와같이 mono-, di- 및 polysulfide의 構成比가 다름을 알 수 있다. 即, 加黃促進劑보다 黃을 많이 添加할 수록 polysulfide의 量이 monosulfide의 量에 비하여 相對적으로 增加함을 確認할 수 있었다. 이 결과는 黃/加黃

促進劑의 比가 높을수록 黃에 對한 加黃促進劑의 競爭反應이 낮아져 pendant group內의 "x"값이 높아짐으로써 polysulfide crosslinks를 形成하려는 傾向이 強해지기 때문이다. EV加黃系에 使用된 sulfasan R과 같은 黃供與體는 加黃促進劑와 相互作用을 일으켜 直接的으로 monosulfide와 disulfide를 形成하려고 하기 때문에 一般加黃系보다 相對적으로 높은 monosulfide와 disulfide crosslinks를 갖는다.

3-2. 物理的 性質

3-2-1. 引張物性

引張物性은 Table 3과 Fig.4~7에서 보는 바와 같이 加黃系가 conventional에서 EV쪽으로 갈수록 即, monosulfide가 增加하고 polysulfide가 減少할 수록 NR配合의 境遇 모듈러스와 引張強度가 增加되며 伸張率은 減少한다.

Table - 2. The concentration of chemical crosslinks of NR and SBR vulcanizates as a function of cure system

Sample	N R			S B R		
	Convent.	Semi-EV	EV	Convent.	Semi-EV	EV
Mono sulfide	73.69	72.19	81.18	82.66	86.61	91.17
Di sulfide	19.31	24.34	18.77	5.34	3.24	2.80
Poly sulfide	7.00	3.47	0.05	11.99	10.14	6.03
Total	100.00	100.00	100.00	100.00	100.00	100.00

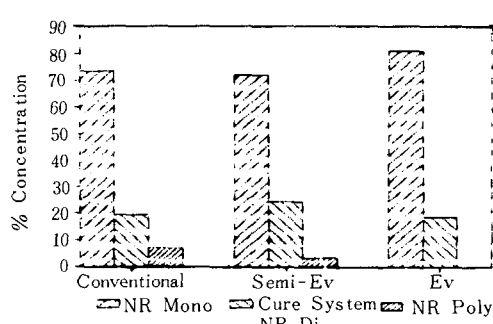


Fig. 2. Comparison of % concentration in chemical crosslinks of NR vulcanizates as a function of cure system

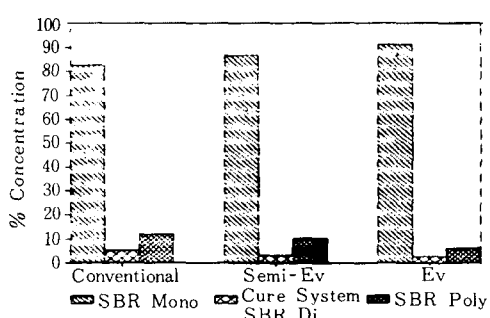


Fig. 3. Comparison of % concentration in chemical crosslinks of SBR vulcanizates as a function of cure system

Table-3. Tensile properties of NR and SBR vulcanizates before and after aging as a function of cure system

Sample		N R			S B R		
Cure system		Convent	Semi-EV	EV	Convent.	Semi-EV	EV
200% MOD kg/cm ²	Bbefore aging	45	56	78	52	56	69
	After aging	87	85	136	112	99	93
	% aging	93.3	51.8	74.4	115.4	76.8	34.8
300% MOD kg/cm ²	Bbefore aging	90	113	119	101	106	126
	After aging	-	157	-	182	165	159
	% aging	-	38.9	-	80.2	55.7	26.2
Elong. %	Bbefore aging	596	601	498	602	593	521
	After aging	211	431	273	369	386	408
	% aging	64.6	28.3	45.2	38.9	34.9	21.7
T. S kg/cm ²	Bbefore aging	250	304	293	237	237	235
	After aging	92	247	208	217	211	217
	% aging	63.2	18.8	29	8.4	11	7.7

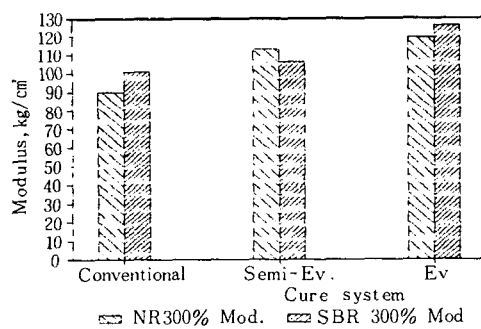


Fig. 4. Comparison of 300% modulus of NR and SBR vulcanizates as a function of cure system

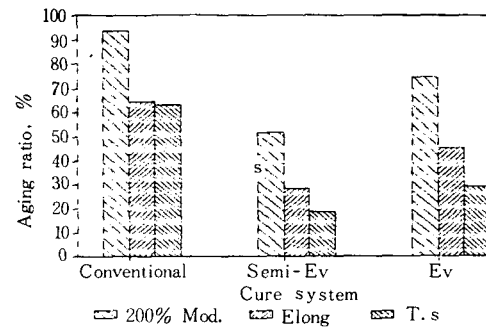


Fig. 6. Comparison of the aging resistance in tensile properties of NR vulcanizates as a function of cure system

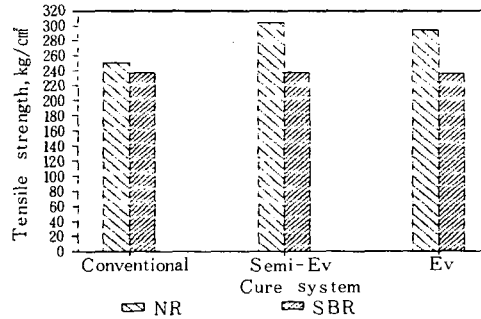


Fig. 5. Comparison of the tensile strength of NR and SBR vulcanizates as a function of cure system

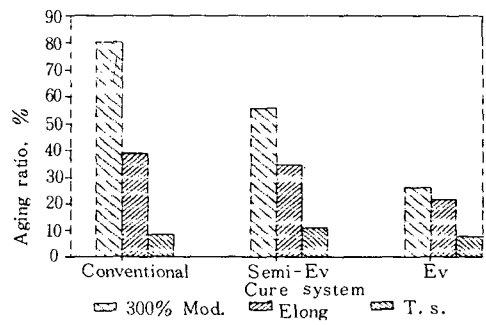


Fig. 7. Comparison of the aging resistance in tensile properties of SBR vulcanizates as a function of cure system

또한 SBR의 境遇 모듈러스와 伸張率은 NR과 비슷한 傾向을 나타내지만 引張强度는 同一한 水準이었다.

老化後의 物性은 老化前보다 모듈러스는 增加하고 伸張率과 引張强度는 低下 되었다. 同一한 NR, SBR 配合고무라 하더라도 特히 NR 配合고무는 monosulfide가 polysulfide보다 EV加黃系를 使用한 쪽이 현저하게 낮은 老化率을 보여주었다.

加黃고무의 網狀構造에 關與하는 化學結合들의 結合에너지의 크기는 C-C > C-S-C > C-S-S-C > C-Sx-C의 順序이다. 이는 고무의 分子鎖內의 結合보다 더 낮은 結合에너지를 갖는 架橋結合 特히, polysulfide crosslinks나 pe-

ndant group들에 높은 應力集中 現象이 일어나거나 耐熱性이 弱하여 다른 結合보다 于先의으로 破壞되어 外力이 作用할 때 引張强度 等에 거의 寄與를 못하기 때문이다.

老化後의 모듈러스가 老化前 보다 增加하는 理由는 熱에 의한 polysulfide의 破壞 및 再結合과 再配列이 일어나 monosulfide와 環狀結合이 增加하기 때문이다. 이러한 結合들은 結合力이 弱해서 큰 變形이 要求되는 引張强度의 增加에는 거의 寄與를 못한다.

3.2.2. 耐疲勞性, 發熱性, 反撥彈性, 壓縮變形率

Table-4. Physical properties of NR and SBR vulcanizates as a function of cure systems

Sample	N	R	S	B	R	
Cure system	Convent.	Semi-EV	EV	Convent.	Semi-EV	EV
Fatigue to failure	52.4	18.7	17.3	60.9	41.8	22.9
KC * 1						
Heat build up	64.0	32.0	26.0	39.0	35.5	29.0
℃ * 4						
Rebound % * 3	53.9	55.9	57.2	38.2	37.8	37.8
Compression set	63.0	58.8	25.6	34.8	31.3	10.9
% * 2						

* 1 : ASTM D 4482-85, * 2 : ASTM D 395 B-85, * 3 : ASTM D 1054-87

* 4 : ASTM D 623 A-78

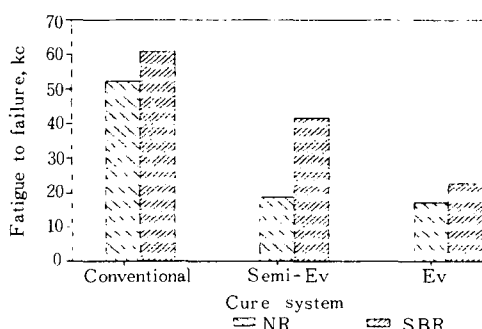


Fig. 8. Comparison of the fatigue to failure life of NR and SBR vulcanizates as a function of cure system

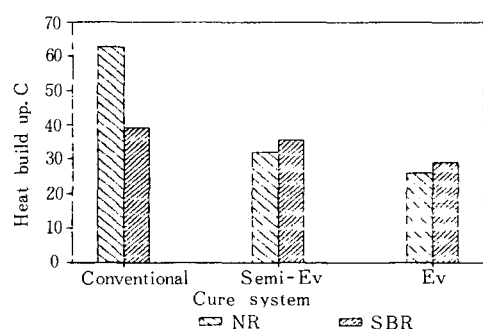


Fig. 9. Comparison of the heat build up of NR and SBR vulcanizates as a function of cure system

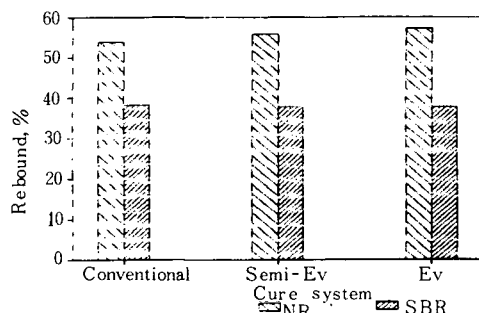


Fig. 10. Comparison of the rebound of NR and SBR vulcanizates as a function of cure system

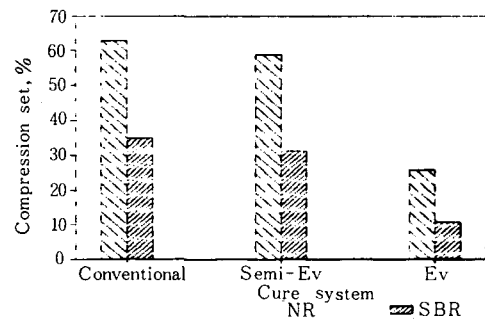


Fig. 11. Comparison of the compression set of NR and SBR vulcanizates as a function of cure system

Table 4와 Fig. 8~11에서 보는 바와같이 耐疲勞破壊性은 monosulfide보다 polysulfide가 많은 conventional加黃系 쪽이 優秀하다. 이 결과는 polysulfide 내에 있는 여러개의 黃原子結合에 의하여 monosulfide crosslinks보다 結合의 柔軟性이 좋아外部에서 一定한 變形을 가할때 應力を 緩和시키는 作用이 있기 때문이다.

發熱과 反撥彈性은 서로 反比例關係를 나타내는데, polysulfide보다 monosulfide가 낮은 쪽이 훨씬 낮은 發熱을 나타낸다. 이것은 加黃고무가 激甚한 周期的 應力에 의한 變形을 일으킬때 polysulfide가 많을 수록 内部 分子間의 摩擦이 심해져 加해진 應力이 熱에너지로서 内部에 蓄積되기 때문이다.

壓縮變形率도 위에서 言及된 바와같은 효과로 인하여 發熱性과 同一한 傾向을 나타내었다.

3.3.3. 粘彈性 性質

架橋構造(加黃系)에 따른 粘彈性 試驗結果는

Fig. 12~15와 같다. NR의 境愚, polysulfide보다 monosulfide가 더 많은 EV加黃系의 配合고무가 가장 낮은 Tg를 나타내어 conventional加黃系를 사용한 配合고무보다 5°C 낮은 -55°C를 갖는다. 이는 Tg以上의 轉移溫度領域에서 polysulfide架橋構造의 特性인 結合의 柔軟性과 應力緩和現象때문에 相對的으로 彈性 모듈러스보다 粘性 모듈러스가 커져 높은 tangent δ를 나타내기 때문인 것으로 推定된다.

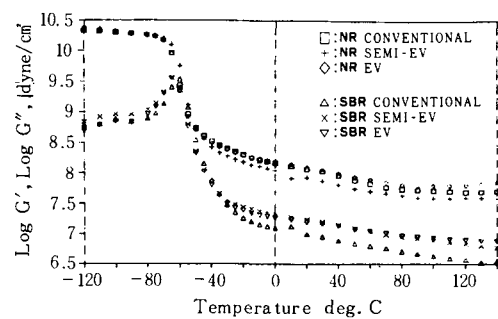


Fig. 12. Effect of cure systems on the dynamic storage and loss modulus of NR vulcanizates as a function of temperature

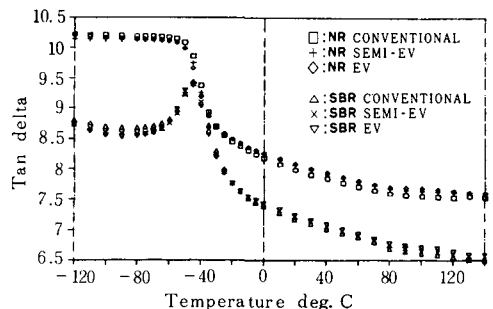


Fig. 13. Effect of cure systems on the dynamic storage and loss modulus of SBR vulcanizates as a function of temperature

한편, 轉移溫度領域以上에서는 polysulfide보다 monosulfide의 濃度가 큰 쪽이 더 높은 tangent δ값을 나타내는데 이는 이 温度範圍에서 温度上昇에 따른 粘性의 減少가 심해지기 때문인 것으로 생각된다.

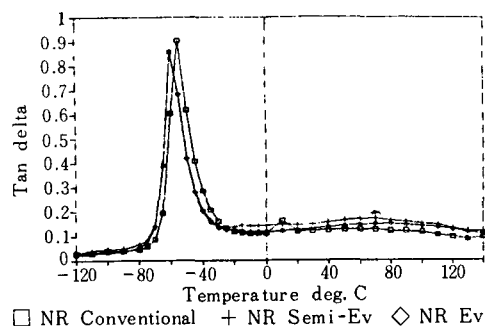


Fig. 14. Effect of cure systems on the tangent δ of NR vulcanizates as a function of temperature

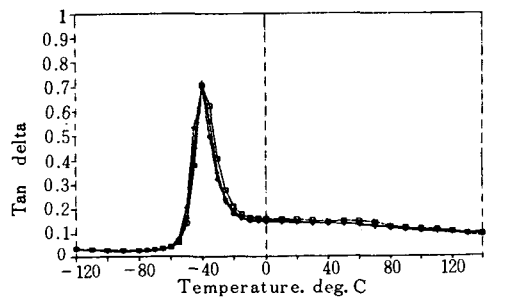


Fig. 15. Effect of cure systems on the tangent δ of SBR vulcanizates as a function of temperature

彈性과 damping이重要하게取扱되는實際配合고무의 物性과 配合關係를 要求特性에 알맞게設計할 때나, 使用中非正常的인問題가 發生하였을境遇, 基本的인 物性試驗과 함께 粘彈性 데이터를組合시켜 解析한다면 훌륭한結果를 얻을 수 있을 것이다.

4. 結論

加黃系를 달리한 NR, SBR配合고무의 架橋構造分析과 物性試驗으로부터 다음과 같은 결론을 얻었다.

1) Low sulfur/high accelerator를 使用한 配合고무의 架橋結合構造는 high sulfur/low accelerator를 使用한境遇보다 monosulfide crosslinks가 많고 polysulfide crosslinks가 적었다. 그리고 disulfide crosslinks는 큰 差異가 없었다.

2) 引張物性, 發熱性 및 壓縮變形率은 monosulfide crosslinks가 많은 쪽이 더 優秀한 性質을 나타내었다. 特히 耐熱老化性에서 顯著한 差異가

있었다.

3) 높은濃度의 monosulfide crosslinks를 갖는 架橋構造의 配合고무가 더 낮은 유리轉移溫度를 나타내었다. 또한 轉移溫度領域以上에서는 에너지消耗에寄與하는程度가 큰 polysulfide crosslinks의濃度가 높은 架橋構造의 配合고무가 温度上昇에 따른粘性의減少 때문에 더 낮은 tangent δ 값을 나타내었다

參考文獻

1. L. Mullins, *J. Polymer Sci.*, 19, 225 (1956)
2. C. G. Moore and W. F. Watson, *J. Polymer Sci.*, 19, 237 (1956)
3. L. Mullins and Watson, *J. Appl. Polymer Sci.*, 1245 (1959)
4. L. Mullins, *J. Appl. Polymer Sci.*, II, 4, 1 (1959)
5. M. Porter, *Rubber Chem. Tech.*, 40, 866 (1967)
6. B. Saville and A. A. Watson, *Rubber Chem. Tech.*, 40, 100 (1967)
7. 鈴木進外, 日本고무協會誌, 42, 254 (1969)
8. A. F. Blanchard, *Rubber Chem. Tech.*, 44, 1208 (1971)
9. H. Oikawa and K. Murakami, *Rubber Chem. Tech.*, 60, 579 (1987)
10. J. I. Cunneen and R. M. Russell, *Rubber Chem. Tech.*, 43, 1215 (1970)
11. P. J. Flory and J. Rehner, *J. Chem. Phys.*, 11, 521 (1943)
12. D. S. Campbell and B. Saville, Proc. Rubber Tech. Conf. IRI, London, p. 1, (1968)

감사의 말씀

本研究結果의發表를 許諾하여 준韓國타이어製造株式會社技術研究所長李玄燮專務理事님께感謝드리며 여러가지 物性의 解析에 깊은關心과助言을 아끼지 않은李範鎮首席研究員과試驗과原稿의編輯에心血을 기울여 준趙國模氏, 孫昌榮氏께感謝드린다.